

# Fonony v pevných látkách

Ilja Turek

February 18, 2007

## 1 Úvod

- pevná látka (PL) jako mnohačásticový problém: jádra, elektrony, fotony
- Born-Oppenheimerova approximace, klasický hamiltonián  $H$

$$H = \sum_{\mathbf{R}\alpha} \frac{p_{\mathbf{R}\alpha}^2}{2M_{\mathbf{R}}} + V(\{q_{\mathbf{R}\alpha}\}) \quad (1)$$

kde  $\mathbf{R}$  čísluje jednotlivá jádra a současně značí jejich rovnovážné polohové vektory,  $\alpha = x, y, z$  značí kartézský index, a  $q_{\mathbf{R}\alpha}$  a  $p_{\mathbf{R}\alpha}$  značí  $\alpha$ -tou složku polohy a impulsu  $\mathbf{R}$ -tého jádra

- pro  $q_{\mathbf{R}\alpha}$  označující malé výchylky z rovnovážných poloh a v harmonické approximaci:

$$H = \sum_{\mathbf{R}\alpha} \frac{p_{\mathbf{R}\alpha}^2}{2M_{\mathbf{R}}} + \frac{1}{2} \sum_{\mathbf{R}\alpha} \sum_{\mathbf{R}'\alpha'} A_{\mathbf{R}\alpha, \mathbf{R}'\alpha'} q_{\mathbf{R}\alpha} q_{\mathbf{R}'\alpha'} \quad (2)$$

kde  $A_{\mathbf{R}\alpha, \mathbf{R}'\alpha'}$  značí silovou matici, která je reálná, symetrická a pozitivně semidefinitní

- pohybové rovnice:

$$M_{\mathbf{R}} \ddot{q}_{\mathbf{R}\alpha} + \sum_{\mathbf{R}'\alpha'} A_{\mathbf{R}\alpha, \mathbf{R}'\alpha'} q_{\mathbf{R}'\alpha'} = 0 \quad (3)$$

- pro harmonickou časovou závislost  $q_{\mathbf{R}\alpha} = q_{\mathbf{R}\alpha}^0 \exp(i\omega t)$  vede podmínka existence netriviálního řešení (tj. nenulových amplitud  $q_{\mathbf{R}\alpha}^0$ ) na

$$\det \left( -M_{\mathbf{R}} \omega^2 \delta_{\mathbf{R}\alpha, \mathbf{R}'\alpha'} + A_{\mathbf{R}\alpha, \mathbf{R}'\alpha'} \right) = 0 \quad (4)$$

což je ekvivalentní se standardním problémem vlastních hodnot

$$\det \left( -\omega^2 \delta_{\mathbf{R}\alpha, \mathbf{R}'\alpha'} + D_{\mathbf{R}\alpha, \mathbf{R}'\alpha'} \right) = 0 \quad (5)$$

kde

$$D_{\mathbf{R}\alpha, \mathbf{R}'\alpha'} = M_{\mathbf{R}}^{-1/2} A_{\mathbf{R}\alpha, \mathbf{R}'\alpha'} M_{\mathbf{R}'}^{-1/2} \quad (6)$$

je dynamická matice (reálná, symetrická, pozitivně semidefinitní)

- vlastní čísla  $\omega^2$  dynamické matice  $D_{\mathbf{R}\alpha, \mathbf{R}'\alpha'}$  jsou všechna nezáporná, tři z nich jsou nulová

## 2 Fononová spektra

- rovnovážné polohy jader v PL:

$$\mathbf{R} = \mathbf{B} + \mathbf{T}, \quad \mathbf{T} = n_1 \mathbf{a}_1 + n_2 \mathbf{a}_2 + n_3 \mathbf{a}_3, \quad (7)$$

kde  $\mathbf{B}$  značí rovnovážné polohové vektory jader hmotné báze a současně čísluje jednotlivá jádra ( $1, 2, \dots, \nu$ );  $\mathbf{T}$  značí translační vektory krystalické struktury PL ( $\mathbf{a}_1, \mathbf{a}_2, \mathbf{a}_3$  - tři základní translační vektory;  $n_1, n_2, n_3 \in \mathbb{Z}$ )

- periodičnost PL (translační invariance):

$$M_{\mathbf{R}+\mathbf{T}} = M_{\mathbf{R}}, \quad D_{(\mathbf{R}+\mathbf{T})\alpha, (\mathbf{R}'+\mathbf{T})\alpha'} = D_{\mathbf{R}\alpha, \mathbf{R}'\alpha'}, \quad (8)$$

takže nezávislými parametry problému v PL jsou pouze  $M_{\mathbf{B}}$  a  $D_{\mathbf{B}\alpha, (\mathbf{B}'+\mathbf{T})\alpha'}$

- spektrum (tj. množina vlastních hodnot) dynamické matice pro PL se získá jako limita pro  $N \rightarrow \infty$  spektra konečného klastru (velkého rovnoběžnostěnu):

$$\begin{aligned} \mathbf{R} &= \mathbf{B} + \mathbf{T}_n, \\ \mathbf{T}_n &= n_1 \mathbf{a}_1 + n_2 \mathbf{a}_2 + n_3 \mathbf{a}_3, \quad 0 \leq n_i < N_i \quad (i = 1, 2, 3), \end{aligned} \quad (9)$$

kde  $n = (n_1, n_2, n_3)$ ,  $N = N_1 N_2 N_3$  je celkový počet primitivních buněk obsažených v klastru a  $N_i \rightarrow \infty$  ( $i = 1, 2, 3$ )

- hraniční podmínky mohou být: a) volné (či pevné, či jinak konkrétně zadáné), nebo b) periodické (cyklické, Born-Kármánovy), což znamená, že

$$q_{(\mathbf{R}+N_1 \mathbf{a}_1)\alpha} = q_{(\mathbf{R}+N_2 \mathbf{a}_2)\alpha} = q_{(\mathbf{R}+N_3 \mathbf{a}_3)\alpha} = q_{\mathbf{R}\alpha}. \quad (10)$$

Na výběru hraničních podmínek v limitě  $N \rightarrow \infty$  nezávisí (viz dodatek A).

- využití translační invariance (8) a periodických hraničních podmínek (10) ke zjednodušení problému vlastních hodnot (5) (pro případ jedné dimenze - viz dodatek B): k velkému klastru (9) zadefinujeme

$$\mathbf{k}_m = \frac{m_1}{N_1} \mathbf{b}_1 + \frac{m_2}{N_2} \mathbf{b}_2 + \frac{m_3}{N_3} \mathbf{b}_3 , \quad 0 \leq m_i < N_i \quad (i = 1, 2, 3) , \quad (11)$$

kde  $m = (m_1, m_2, m_3)$ ,  $\mathbf{b}_i$  ( $i = 1, 2, 3$ ) je trojice základních mřížkových vektorů v reciprokém prostoru, definovaná pomocí

$$\mathbf{a}_i \cdot \mathbf{b}_j = 2\pi\delta_{ij} , \quad (12)$$

a  $\mathbf{k}_m$  je kvazispojitý vektor ležící v rovnoběžnostěnu tvořeném vektory  $\mathbf{b}_1, \mathbf{b}_2, \mathbf{b}_3$ . Vektory  $\mathbf{k}_m$  (11) splňují podmínky  $\exp(i\mathbf{k}_m \cdot N_j \mathbf{a}_j) = 1$  ( $j = 1, 2, 3$ ). Pak transformujeme dynamickou matici  $D_{(\mathbf{B}+\mathbf{T}_n)\alpha, (\mathbf{B}'+\mathbf{T}_{n'})\alpha'}$  pomocí podobnostní transformace na  $\tilde{D} = U^{-1}DU$ , kde

$$\begin{aligned} U_{nm} &= \exp(i\mathbf{k}_m \cdot \mathbf{T}_n) = \exp\left[2\pi i\left(\frac{n_1 m_1}{N_1} + \frac{n_2 m_2}{N_2} + \frac{n_3 m_3}{N_3}\right)\right] , \\ (U^{-1})_{mn} &= \frac{1}{N} \exp(-i\mathbf{k}_m \cdot \mathbf{T}_n) . \end{aligned} \quad (13)$$

Dostaneme:

$$\begin{aligned} \tilde{D}_{\mathbf{B}m\alpha, \mathbf{B}'m'\alpha'} &= \sum_n^N \sum_{n'}^N (U^{-1})_{mn} D_{(\mathbf{B}+\mathbf{T}_n)\alpha, (\mathbf{B}'+\mathbf{T}_{n'})\alpha'} U_{n'm'} \\ &= \delta_{mm'} \tilde{D}_{\mathbf{B}\alpha, \mathbf{B}'\alpha'}(\mathbf{k}_m) , \end{aligned} \quad (14)$$

kde veličiny  $\tilde{D}_{\mathbf{B}\alpha, \mathbf{B}'\alpha'}(\mathbf{k})$  jsou definovány pomocí

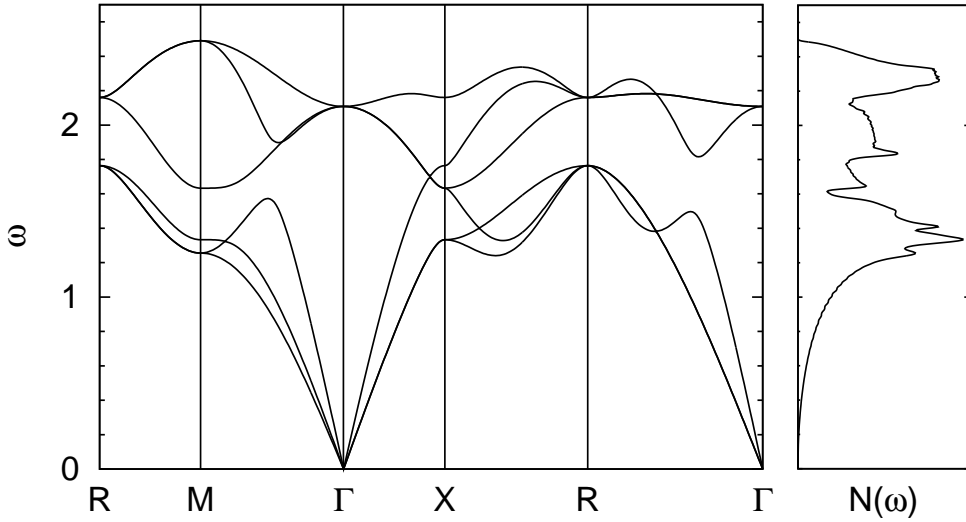
$$\tilde{D}_{\mathbf{B}\alpha, \mathbf{B}'\alpha'}(\mathbf{k}) = \sum_{\mathbf{T}} \exp(i\mathbf{k} \cdot \mathbf{T}) D_{\mathbf{B}\alpha, (\mathbf{B}'+\mathbf{T})\alpha'} . \quad (15)$$

Vztah (15) definuje tzv. mřížkovou Fourierovu transformaci matice  $D$ .

- vlastnosti matic  $\tilde{D}(\mathbf{k})$ : hermiteovské, tj.  $\tilde{D}_{\mathbf{B}\alpha, \mathbf{B}'\alpha'}(\mathbf{k}) = \tilde{D}_{\mathbf{B}'\alpha', \mathbf{B}\alpha}^*(\mathbf{k})$ , pozitivně semidefinitní a dále splňující  $\tilde{D}_{\mathbf{B}\alpha, \mathbf{B}'\alpha'}(-\mathbf{k}) = \tilde{D}_{\mathbf{B}\alpha, \mathbf{B}'\alpha'}^*(\mathbf{k})$ , což plyne z invariance pohybových rovnic (3) vůči inverzi času
- hlavní výsledek: transformovaná dynamická matici (14) je diagonální v indexech  $m, m'$ ; pro každou hodnotu vektoru  $\mathbf{k} = \mathbf{k}_m$  pak řešíme problém vlastních hodnot s konečnou dimenzí

$$\det\left(\omega^2 \delta_{\mathbf{B}\alpha, \mathbf{B}'\alpha'} - \tilde{D}_{\mathbf{B}\alpha, \mathbf{B}'\alpha'}(\mathbf{k})\right) = 0 , \quad (16)$$

$$M_1=3/2, M_2=1, C_{11}=C_{22}=1/2, C_{12}=1$$



$$M_1=3, M_2=1, C_{11}=1, C_{22}=0, C_{12}=1$$

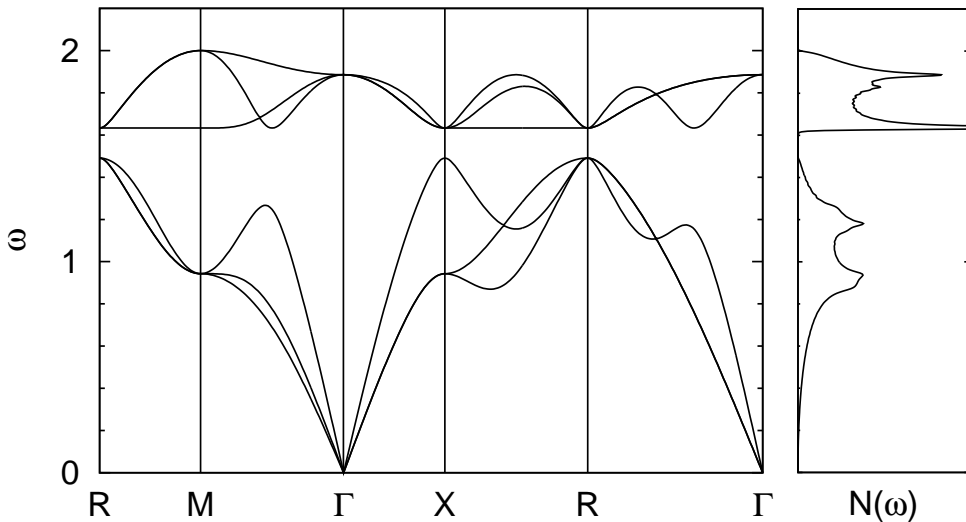


Figure 1: Modelová fononová spektra PL se strukturou CsCl ( $M_1, M_2$  - hmoty atomů báze,  $C_{11}, C_{22}, C_{12}$  - párové interakce mezi nejbližšími atomy stejných a různých druhů). Pravý panel - hustota fononových stavů.

odkud dostáváme  $3\nu$  vlastních hodnot  $\omega_j(\mathbf{k})$  a vlastních vektorů  $e_{\mathbf{B}\alpha}^{(j)}(\mathbf{k})$  ( $j = 1, 2, \dots, 3\nu$ ); závislosti  $\omega_j(\mathbf{k})$  - fononové spektrum, fononový disperzní zákon

- Brillouinova zóna (BZ) v reciprokém prostoru (první, druhá, ...) - ekvivalent rovnoběžnostěnu z vektorů  $\mathbf{b}_1, \mathbf{b}_2, \mathbf{b}_3$ ; objem BZ je  $V_{\text{BZ}} = (2\pi)^3/V_0$ , kde  $V_0 = \mathbf{a}_1 \cdot (\mathbf{a}_2 \times \mathbf{a}_3)$  je objem primitivní buňky v reálném prostoru
- význam  $\mathbf{k}$ -vektoru

### 3 Blochův teorém a normální souřadnice

- souhrn všech výchylek  $q_{\mathbf{R}\alpha} = q_{(\mathbf{B}+\mathbf{T})\alpha}$  lze považovat za složky abstraktního vektoru v lokální bázi  $|\mathbf{R}\alpha\rangle = |(\mathbf{B} + \mathbf{T})\alpha\rangle \equiv |\mathbf{B}\alpha\mathbf{T}\rangle$  (Diracova symbolika); podobnostní transformace daná maticí  $U$  (13) pak odpovídá přechodu k tzv. blochovské bázi, značené  $|\mathbf{B}\alpha\mathbf{k}\rangle$  a definované vztahem

$$\langle \mathbf{B}\alpha\mathbf{T}| \mathbf{B}'\alpha'\mathbf{k} \rangle = \frac{1}{\sqrt{N}} \delta_{\mathbf{B}\alpha, \mathbf{B}'\alpha'} \exp(i\mathbf{k} \cdot \mathbf{T}), \quad (17)$$

kde jsme dodatečně zavedli normalizační faktor  $1/\sqrt{N}$ ; označíme-li souřadnice v blochovské bázi  $|\mathbf{B}\alpha\mathbf{k}\rangle$  jako  $\tilde{q}_{\mathbf{B}\alpha}(\mathbf{k})$ , pak (17) lze zapsat též jako

$$q_{\mathbf{R}\alpha} = q_{(\mathbf{B}+\mathbf{T})\alpha} = \frac{1}{\sqrt{N}} \sum_{\mathbf{k}} \exp(i\mathbf{k} \cdot \mathbf{T}) \tilde{q}_{\mathbf{B}\alpha}(\mathbf{k}). \quad (18)$$

Tento substitucí se nekonečná soustava pohybových rovnic (3) převede na separované (vzhledem ke  $\mathbf{k}$ ) soustavy pohybových rovnic pro  $3\nu$  proměnných  $\tilde{q}_{\mathbf{B}\alpha}(\mathbf{k})$  (tj. řešení lze provádět pro každé  $\mathbf{k}$  zvlášť).

- blochovská báze je delokalizovaná:  $|\mathbf{B}\alpha\mathbf{k}\rangle$  odpovídá výchylkám všech jader  $\mathbf{B}$ -tého druhu nekonečné PL, a to ve zvoleném směru  $\alpha$ ; přitom se amplitudy výchylek na uzlech vzájemně posunutých o translační vektor  $\mathbf{T}_1$  liší pouze fázovým faktorem  $\exp(i\mathbf{k} \cdot \mathbf{T}_1)$ :

$$\langle (\mathbf{R} + \mathbf{T}_1)\alpha | \mathbf{B}'\alpha'\mathbf{k} \rangle = \exp(i\mathbf{k} \cdot \mathbf{T}_1) \langle \mathbf{R}\alpha | \mathbf{B}'\alpha'\mathbf{k} \rangle \quad (19)$$

- nalezené vlastní vektory  $e_{\mathbf{B}\alpha}^{(j)}(\mathbf{k})$ ,  $j = 1, 2, \dots, 3\nu$ , vedou k definici další delokalizované báze – báze tvořené vlastními kmity (fononovými módy) PL, jejíž každý vektor  $|j\mathbf{k}\rangle$  je lineární kombinací blochovských bázových vektorů  $|\mathbf{B}\alpha\mathbf{k}\rangle$  se stejným  $\mathbf{k}$ ; explicitní vztah k předchozím bázím zní:

$$\begin{aligned} \langle \mathbf{B}\alpha\mathbf{k} | j\mathbf{k}' \rangle &= \delta_{\mathbf{k}\mathbf{k}'} \frac{1}{\sqrt{M_B}} e_{\mathbf{B}\alpha}^{(j)}(\mathbf{k}), \\ \langle \mathbf{B}\alpha\mathbf{T} | j\mathbf{k} \rangle &= \frac{1}{\sqrt{N}} \frac{1}{\sqrt{M_B}} e_{\mathbf{B}\alpha}^{(j)}(\mathbf{k}) \exp(i\mathbf{k} \cdot \mathbf{T}), \end{aligned} \quad (20)$$

kde zavedení faktoru  $1/\sqrt{M_B}$  odpovídá přechodu (6) od matice silové k dynamické

- pro vlastní kmity  $|j\mathbf{k}\rangle$  lze dokázat vztah analogický (19), tj.

$$\langle (\mathbf{R} + \mathbf{T}_1)\alpha | j\mathbf{k} \rangle = \exp(i\mathbf{k} \cdot \mathbf{T}_1) \langle \mathbf{R}\alpha | j\mathbf{k} \rangle. \quad (21)$$

Ten tvoří obsah Blochova teorému: v jednom fononovém módu (vlastním kmitu PL) příslušném danému  $\mathbf{k}$ -vektoru se amplitudy výchylek dvou jader vzdálených o translační mřížkový vektor  $\mathbf{T}_1$  liší pouze fázovým faktorem  $\exp(i\mathbf{k} \cdot \mathbf{T}_1)$ .

- ze vztahu (20) plyne přechod od původních výchylek  $q_{\mathbf{R}\alpha} = q_{(\mathbf{B}+\mathbf{T})\alpha}$  (složek vektoru v lokální bázi  $|\mathbf{R}\alpha\rangle = |(\mathbf{B} + \mathbf{T})\alpha\rangle$ ) a k nim kanonicky sdružených hybností  $p_{\mathbf{R}\alpha} = p_{(\mathbf{B}+\mathbf{T})\alpha}$  k novým výchylkám  $Q_j(\mathbf{k})$  (složkám vektoru v bázi vlastních kmitů  $|j\mathbf{k}\rangle$ ) a k nim kanonicky sdruženým hybnostem  $P_j(\mathbf{k})$ :

$$\begin{aligned} q_{(\mathbf{B}+\mathbf{T})\alpha} &= \frac{1}{\sqrt{M_{\mathbf{B}}}} \frac{1}{\sqrt{N}} \sum_{\mathbf{k}}^{\text{BZ}} \sum_{j=1}^{3\nu} e_{\mathbf{B}\alpha}^{(j)}(\mathbf{k}) \exp(i\mathbf{k} \cdot \mathbf{T}) Q_j(\mathbf{k}) , \\ P_j(\mathbf{k}) &= \frac{1}{\sqrt{N}} \sum_{\mathbf{T}} \sum_{\mathbf{B},\alpha} \frac{1}{\sqrt{M_{\mathbf{B}}}} e_{\mathbf{B}\alpha}^{(j)}(\mathbf{k}) \exp(i\mathbf{k} \cdot \mathbf{T}) p_{(\mathbf{B}+\mathbf{T})\alpha} . \end{aligned} \quad (22)$$

Při normování vlastních vektorů  $e_{\mathbf{B}\alpha}^{(j)}(\mathbf{k})$  na jednotku, tj.

$$\sum_{\mathbf{B}\alpha} |e_{\mathbf{B}\alpha}^{(j)}(\mathbf{k})|^2 = 1 , \quad (23)$$

přejde původní hamiltonián (2) v nových proměnných do tvaru

$$H = \sum_{\mathbf{k}}^{\text{BZ}} \sum_{j=1}^{3\nu} \frac{1}{2} [P_j^2(\mathbf{k}) + \omega_j^2(\mathbf{k}) Q_j^2(\mathbf{k})] , \quad (24)$$

což odpovídá systému  $3\nu N$  nezávislých harmonických oscilátorů. Veličiny  $Q_j(\mathbf{k})$  jsou tzv. normální souřadnice,  $P_j(\mathbf{k})$  jsou příslušné hybnosti.

*Poznámka:* naznačený přechod k (24) není úplně přesný - správně bychom měli vzít v úvahu omezení plynoucí z reálnosti veličin  $q_{\mathbf{R}\alpha}$  a  $p_{\mathbf{R}\alpha}$ , která není v transformaci (22) zohledněna, neboť vlastní vektory  $e_{\mathbf{B}\alpha}^{(j)}(\mathbf{k})$  jsou obecně komplexní. Správná formulace proto musí vzít v úvahu některé další vlastnosti fononových spekter, jako např.  $\omega_j(-\mathbf{k}) = \omega_j(\mathbf{k})$  a možnost volby vlastních vektorů tak, že splňují rovnost  $e_{\mathbf{B}\alpha}^{(j)}(-\mathbf{k}) = [e_{\mathbf{B}\alpha}^{(j)}(\mathbf{k})]^*$ .

## 4 Vlastnosti fononových spekter

- periodicitu v reciprokém prostoru:  $\omega_j(\mathbf{k} + \mathbf{G}) = \omega_j(\mathbf{k})$ , kde

$$\mathbf{G} = m_1 \mathbf{b}_1 + m_2 \mathbf{b}_2 + m_3 \mathbf{b}_3 , \quad m_1, m_2, m_3 \in \mathcal{Z} \quad (25)$$

jsou vektory reciproké mřížky

- pozitivnost:  $\omega_j^2(\mathbf{k}) \geq 0$
- invariance vůči inverzi času:  $\omega_j(-\mathbf{k}) = \omega_j(\mathbf{k})$
- bodová symetrie mřížky ( $A$  - operace symetrie):  $\omega_j(A\mathbf{k}) = \omega_j(\mathbf{k})$
- ekvifrekvenční plochy:  $\omega_j(\mathbf{k}) = \text{konst.}$
- hustota fononových stavů:
  - a) v reciprokém prostoru je konstantní - pro velký klastr s objemem  $NV_0$  je celkový počet fononových stavů v 1. BZ roven  $3\nu N$
  - b) na frekvenční ose je počet vlastních hodnot ve frekvenčním intervalu  $(\omega, \omega + d\omega)$  roven  $\mathcal{N}(\omega) d\omega$ , kde hustota stavů (na jednu primitivní buňku) je rovna

$$\begin{aligned}\mathcal{N}(\omega) &= \sum_{j=1}^{3\nu} \mathcal{N}_j(\omega), \\ \mathcal{N}_j(\omega) &= \frac{V_0}{(2\pi)^3} \int_{\omega_j(\mathbf{k})=\omega} \frac{dS}{|\nabla_{\mathbf{k}} \omega_j(\mathbf{k})|},\end{aligned}\quad (26)$$

kde plošný integrál se bere po ekvifrekvenční ploše; alternativně

$$\begin{aligned}\mathcal{N}_j(\omega) &= \frac{V_0}{(2\pi)^3} \int_{\text{BZ}} \delta(\omega - \omega_j(\mathbf{k})) d^3k \\ &= \frac{1}{N} \sum_{\mathbf{k}}^{\text{BZ}} \delta(\omega - \omega_j(\mathbf{k})),\end{aligned}\quad (27)$$

kde integrál se bere přes 1. BZ v reciprokém prostoru, zatímco součet probíhá přes diskrétní (kvazispojité) vektor  $\mathbf{k} = \mathbf{k}_m$  (11)  
 c) při znalosti vlastních vektorů  $e_{\mathbf{B}\alpha}^{(j)}(\mathbf{k})$  příslušných k řešení problému (16) lze celkovou hustotu stavů  $\mathcal{N}(\omega)$  rozložit na příspěvky od jednotlivých  $\mathbf{B}\alpha$ -komponent (tzv. projektované hustoty stavů):

$$\begin{aligned}\mathcal{N}(\omega) &= \sum_{\mathbf{B}\alpha} \mathcal{N}_{\mathbf{B}\alpha}(\omega), \\ \mathcal{N}_{\mathbf{B}\alpha}(\omega) &= \sum_{j=1}^{3\nu} \frac{V_0}{(2\pi)^3} \int_{\text{BZ}} |e_{\mathbf{B}\alpha}^{(j)}(\mathbf{k})|^2 \delta(\omega - \omega_j(\mathbf{k})) d^3k \\ &= \sum_{j=1}^{3\nu} \frac{1}{N} \sum_{\mathbf{k}}^{\text{BZ}} |e_{\mathbf{B}\alpha}^{(j)}(\mathbf{k})|^2 \delta(\omega - \omega_j(\mathbf{k}))\end{aligned}\quad (28)$$

- kritické body fononové disperzní závislosti, singularity v hustotě fononových stavů, různé typy kritických bodů a singularit

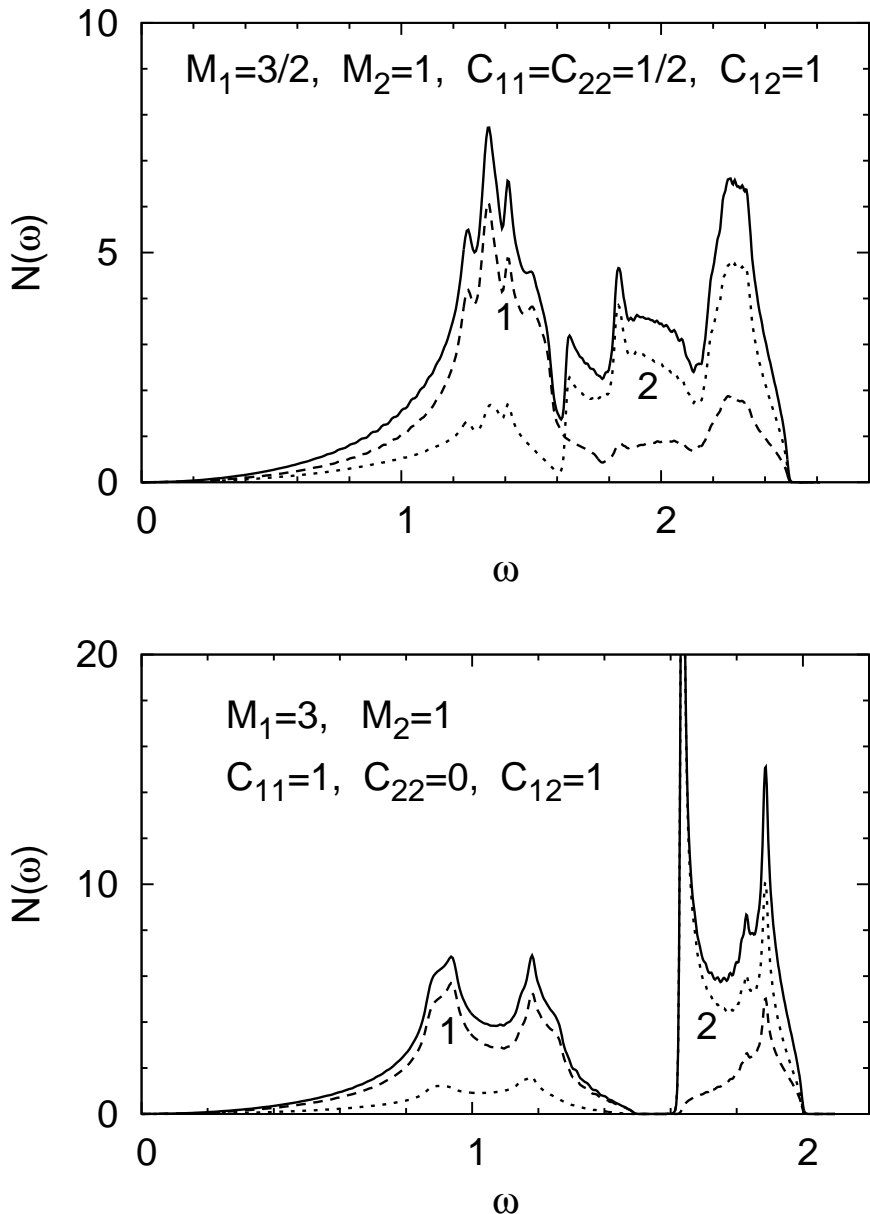


Figure 2: Rozklad celkové hustoty stavů na příspěvky od dvou druhů atomů pro modelová fononová spektra PL se strukturou CsCl ( $M_1, M_2$  - hmoty atomů báze,  $C_{11}, C_{22}, C_{12}$  - párové interakce mezi nejbližšími atomy stejných a různých druhů).

- chování  $\omega_j(\mathbf{k})$  pro  $\mathbf{k} \rightarrow \mathbf{0}$ : 3 větve akustické ( $\omega_j(\mathbf{0}) = 0$ ), ostatní větve optické
- akustické fonony v případě Bravaisovy mřížky (index **B** vynechán):

$$\omega^2 \sim k^2 \left[ \frac{\partial^2}{(\partial k)^2} \tilde{D}_{\alpha,\alpha'}(\mathbf{k}) \right]_{\mathbf{k} \rightarrow \mathbf{0}}, \quad (29)$$

ovšem ( $R_\beta$  značí  $\beta$ -tou složku vektoru  $\mathbf{R} = \mathbf{T}$ )

$$\begin{aligned} \left[ \frac{\partial^2}{\partial k_\beta \partial k_{\beta'}} \tilde{D}_{\alpha, \alpha'}(\mathbf{k}) \right]_{\mathbf{k} \rightarrow \mathbf{0}} &= - \sum_{\mathbf{R}} R_\beta R_{\beta'} D_{\mathbf{0}\alpha, \mathbf{R}\alpha'} \\ &= - \frac{1}{M} \sum_{\mathbf{R}} R_\beta R_{\beta'} A_{\mathbf{0}\alpha, \mathbf{R}\alpha'} \\ &\sim \frac{1}{M} V_0 \Lambda = \frac{\Lambda}{\rho}, \end{aligned} \quad (30)$$

kde  $\Lambda$  je nějaká elastická konstanta,  $M$  je hmota jádra a  $\rho = M/V_0$  je hustota PL. Nakonec pro  $k \rightarrow 0$  bude:

$$\frac{\omega}{k} \sim \sqrt{\frac{\Lambda}{\rho}} = v_s, \quad (31)$$

kde  $v_s$  je rychlosť zvuku z teorie elasticity (mechaniky kontinua).

## 5 Kvantová teorie

- kvantová teorie v normálních souřadnicích, tj. pro systém nezávislých harmonických oscilátorů (24)
- vlastní stavy jsou charakterizovány posloupností  $\{n_j(\mathbf{k})\}$ , kde  $n_j(\mathbf{k}) \in \{0, 1, \dots\}$  je kvantové číslo  $j\mathbf{k}$ -tého oscilátoru; vlastní energie je rovna

$$E(\{n_j(\mathbf{k})\}) = \sum_{\mathbf{k}}^{\text{BZ}} \sum_{j=1}^{3\nu} \hbar \omega_j(\mathbf{k}) \left[ n_j(\mathbf{k}) + \frac{1}{2} \right] \quad (32)$$

a vlnová funkce vlastního stavu je dána vzorcem

$$\Psi(\{Q_j(\mathbf{k})\}; \{n_j(\mathbf{k})\}) = \prod_{\mathbf{k}}^{\text{BZ}} \prod_{j=1}^{3\nu} \psi_{n_j(\mathbf{k})}(Q_j(\mathbf{k}); \omega_j(\mathbf{k})), \quad (33)$$

kde  $\psi_n(Q; \omega)$  označuje vlnovou funkci  $n$ -tého vlastního stavu harmonického operátoru s kruhovou frekvencí  $\omega$  a s hmotou rovnou jedné - srv. (24)

- od operátorů polohy  $\hat{Q}_j(\mathbf{k})$  a hybnosti  $\hat{P}_j(\mathbf{k})$  lze přejít k anihilačním a kreačním operátorům  $j\mathbf{k}$ -tého oscilátoru pomocí

$$\begin{aligned} \hat{Q}_j(\mathbf{k}) &= \sqrt{\frac{\hbar}{2}} \frac{1}{\sqrt{\omega_j(\mathbf{k})}} [\hat{a}_j^+(\mathbf{k}) + \hat{a}_j(\mathbf{k})], \\ \hat{P}_j(\mathbf{k}) &= i \sqrt{\frac{\hbar}{2}} \sqrt{\omega_j(\mathbf{k})} [\hat{a}_j^+(\mathbf{k}) - \hat{a}_j(\mathbf{k})], \end{aligned} \quad (34)$$

a též k operátoru počtu fononů  $j\mathbf{k}$ -tého oscilátoru

$$\hat{n}_j(\mathbf{k}) = \hat{a}_j^+(\mathbf{k}) \hat{a}_j(\mathbf{k}) \quad (35)$$

## 6 Termodynamické vlastnosti

- termodynamické vlastnosti se získají snadno díky zavedení normálních souřadnic (systém nezávislých oscilátorů); přehled termodynamických vlastností jediného oscilátoru je v dodatku C
- střední hodnota energie kmitů mřížky (na jednu primitivní buňku) se získá z (24, 96):

$$\begin{aligned} U(T) &= \frac{1}{N} \sum_{\mathbf{k}}^{\text{BZ}} \sum_{j=1}^{3\nu} \frac{\hbar \omega_j(\mathbf{k})}{2} \coth\left(\frac{\beta \hbar \omega_j(\mathbf{k})}{2}\right) \\ &= \int_0^\infty \mathcal{N}(\omega) \frac{\hbar \omega}{2} \coth\left(\frac{\beta \hbar \omega}{2}\right) d\omega , \end{aligned} \quad (36)$$

kde  $\mathcal{N}(\omega)$  je fononová hustota stavů (26) a  $\beta = (k_B T)^{-1}$

- měrné teplo bude  $C(T) = \partial U(T) / \partial T$ ;  
v limitě vysokých teplot ( $k_B T \gg \hbar \omega_{\max}$ ) vyjde

$$U(T) = \int_0^\infty \mathcal{N}(\omega) k_B T d\omega = 3\nu k_B T , \quad C(T) = 3\nu k_B , \quad (37)$$

což je Dulong-Petitův zákon;

pro  $T \rightarrow 0$  se uplatní jen akustické fonony a vyjde (*cvičení*)

$$C(T) \sim T^3 \quad (38)$$

- střední kvadratická výchylka kmitů jednotlivých jader (jen pro Bravaisovu mřížku, tj.  $\nu = 1$ , index  $\mathbf{B}$  vynechán,  $\mathbf{R} = \mathbf{T}$ ): podle (22) platí

$$q_{\mathbf{R}\alpha} = \frac{1}{\sqrt{NM}} \sum_{\mathbf{k}}^{\text{BZ}} \sum_{j=1}^3 Q_j(\mathbf{k}) e_\alpha^{(j)}(\mathbf{k}) \exp(i\mathbf{k} \cdot \mathbf{R}) , \quad (39)$$

odkud [viz pozn. pod (24)]

$$\begin{aligned} \langle q_{\mathbf{R}\alpha}^2 \rangle &= \frac{1}{NM} \sum_{\mathbf{k}, \mathbf{k}'}^{\text{BZ}} \sum_{j, j'=1}^3 \langle Q_j(\mathbf{k}) Q_{j'}(\mathbf{k}') \rangle \\ &\quad \times e_\alpha^{(j)}(\mathbf{k}) [e_\alpha^{(j')}(\mathbf{k}')]^* \exp[i(\mathbf{k} - \mathbf{k}') \cdot \mathbf{R}] . \end{aligned} \quad (40)$$

Ovšem díky nezávislosti normálních souřadnic pro různé fononové módy bude

$$\langle Q_j(\mathbf{k}) Q_{j'}(\mathbf{k}') \rangle = \delta_{jj'} \delta_{\mathbf{k}\mathbf{k}'} \langle Q_j^2(\mathbf{k}) \rangle , \quad (41)$$

takžé z (40) a díky normalizaci vlastních vektorů (23) nakonec vyjde

$$\begin{aligned}\langle q_{\mathbf{R}\alpha}^2 \rangle &= \frac{1}{NM} \sum_{\mathbf{k}}^{\text{BZ}} \sum_{j=1}^3 \langle Q_j^2(\mathbf{k}) \rangle |e_{\alpha}^{(j)}(\mathbf{k})|^2 , \\ \langle \mathbf{q}_{\mathbf{R}}^2 \rangle &= \sum_{\alpha} \langle q_{\mathbf{R}\alpha}^2 \rangle = \frac{1}{NM} \sum_{\mathbf{k}}^{\text{BZ}} \sum_{j=1}^3 \langle Q_j^2(\mathbf{k}) \rangle .\end{aligned}\quad (42)$$

Odtud je vidět, že střední kvadratická výchylka kmitů je pro všechna jádra stejná (nezávislá na  $\mathbf{R}$ ). Při použití klasické statistiky (92) dostaneme

$$\langle \mathbf{q}_{\mathbf{R}}^2 \rangle = \frac{k_B T}{M} \frac{1}{N} \sum_{\mathbf{k}}^{\text{BZ}} \sum_{j=1}^3 \frac{1}{\omega_j^2(\mathbf{k})} , \quad (43)$$

zatímco v kvantovém případě (96) bude výsledek

$$\langle \mathbf{q}_{\mathbf{R}}^2 \rangle = \frac{1}{M} \frac{1}{N} \sum_{\mathbf{k}}^{\text{BZ}} \sum_{j=1}^3 \frac{\hbar}{2\omega_j(\mathbf{k})} \coth\left(\frac{\beta\hbar\omega_j(\mathbf{k})}{2}\right) . \quad (44)$$

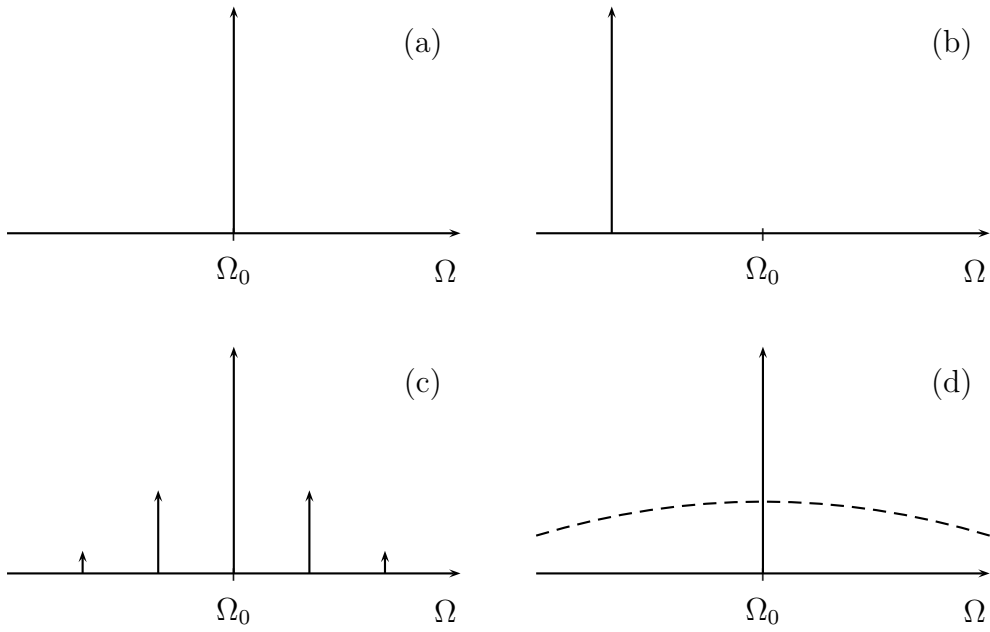
Oba výrazy se shodují pro vysoké teploty; pro  $T = 0$  přejde kvantový výraz na

$$\langle \mathbf{q}_{\mathbf{R}}^2 \rangle|_{T=0} = \frac{\hbar}{2M} \frac{1}{N} \sum_{\mathbf{k}}^{\text{BZ}} \sum_{j=1}^3 \frac{1}{\omega_j(\mathbf{k})} , \quad (45)$$

což se liší od výrazu klasického (43) díky tzv. nulovým kmitům v kvantovém případě.

## 7 Fonony a Mössbauerův jev

- jádro při přechodu z excitovaného do základního stavu vyzařuje foton s vlnovým vektorem  $\mathbf{K}$  a s frekvencí  $\Omega_0$  danou energetickým rozdílem obou stavů; přechod je způsoben interakcí vnitřních stupňů volnosti jádra s elektromagnetickým polem
- při uvážení pohybu těžiště jádra se díky zpětnému rázu (zachování impulsu a energie) vyzáří foton s frekvencí menší než  $\Omega_0$
- jádro v PL vyzařuje fotony s frekvencemi změněnými od  $\Omega_0$  o frekvence z fononového spektra; kromě toho je však ve spektru přítomna též komponenta s původní frekvencí  $\Omega_0$  (*Mössbauerův jev* - viz obr.)



Obrázek znázorňující spektrální hustotu (jako funkci frekvence  $\Omega$ ) el.-mag. záření emitovaného z jádra: (a) nehybného, (b) volného, (c) v poli jediného harmonického oscilátoru, (d) v pevné látce.

- hodnoty pro jádro  $^{57}\text{Fe}$ : energie jaderného přechodu 14 keV, přirozená šířka čáry  $5 \times 10^{-9}$  eV, energie zpětného rázu  $2 \times 10^{-3}$  eV

## 7.1 Klasický popis pohybu jader

- v tomto případě popíšeme el.-mag. pole i kmity jader klasicky; kvantově pojednáme pouze jaderné vnitřní stupně volnosti
- nejprve uvažujeme jádro o hmotě  $M$  pohybující se pouze ve směru vlnového vektoru  $\mathbf{K}$ ; jádro se nachází v poli jediného harmonického oscilátoru s frekvencí  $\omega$ , tj. časová závislost výchylky jádra  $q(t)$  je dána periodickou funkcí

$$q(t) = q \cos(\omega t) + \frac{p}{M\omega} \sin(\omega t), \quad (46)$$

kde  $q$  a  $p$  značí hodnotu výchylky a hybnosti v čase  $t = 0$

- frekvenci el.-mag. záření označíme  $\Omega$ ; pro vlnové délky záření mnohem větší než rozměry jádra lze časovou závislost interakčního členu hamiltoniánu  $\hat{H}'(t)$  a příslušného maticového elementu tohoto hamiltoniánu v Diracově

reprezentaci  $\hat{H}'_D(t)$  mezi stavem počátečním ( $i$  - excitovaným) a konečným ( $f$  - základním) popsat vztahy (jen členy odpovídající emisi fotonu)

$$\begin{aligned}\hat{H}'(t) &\sim \exp(i\Omega t) \exp[-iKq(t)] , \\ \langle f | \hat{H}'_D(t) | i \rangle &\sim \exp(-i\Omega_0 t) \exp(i\Omega t) \exp[-iKq(t)] \\ &= \sum_{n=-\infty}^{\infty} C_n \exp[i(\Omega - \Omega_0 + n\omega)t] ,\end{aligned}\quad (47)$$

kde jsme zavedli Fourierovy koeficienty  $C_n$  (závislé na počátečních podmínkách  $p, q$ ) periodické funkce  $\exp[-iKq(t)]$ :

$$\exp[-iKq(t)] = \sum_{n=-\infty}^{\infty} C_n \exp(in\omega t) . \quad (48)$$

Časová závislost (47) vede k pravděpodobnosti přechodu za jednotku času závislé na frekvenci  $\Omega$  podle

$$w_{fi}(\Omega) \sim \sum_{n=-\infty}^{\infty} |C_n|^2 \delta(\Omega - \Omega_0 + n\omega) , \quad (49)$$

tj. přechody budou nastávat pro frekvence  $\Omega$  posunuté vzhledem k  $\Omega_0$  o celistvé násobky frekvence oscilátoru  $n\omega$  (viz předchozí obr.), a to s intenzitami úměrnými  $|C_n|^2$ .

- koeficienty  $C_n$  splňují sumiční pravidlo (důsledek  $|\exp[-iKq(t)]| = 1$ )

$$\sum_{n=-\infty}^{\infty} |C_n|^2 = 1 , \quad (50)$$

takže relativní zastoupení komponenty s nezměněnou frekvencí  $\Omega_0$  ve spektru je dáno veličinou  $C_0^2$  ( $C_0$  je reálné)

- explicitní vyjádření  $C_n$  lze získat pomocí Besselových funkcí  $J_n(z)$  a vztahu

$$\exp(iz \sin t) = \sum_{n=-\infty}^{\infty} J_n(z) \exp(int) ; \quad (51)$$

vyjde mj.  $C_0 = J_0(Kr)$  a  $|C_n|^2 = J_n^2(Kr)$ , kde  $r^2 = q^2 + (p/M\omega)^2$

- při experimentech na souboru identických jader v termodynamické rovnováze s teplotou  $T$  bude frekvence  $\Omega_0$  zastoupena ve spektru s relativní intenzitou  $\langle C_0^2 \rangle$ , kde  $\langle \dots \rangle$  značí statistické středování přes proměnné  $p, q$  (viz dodatek C); pro  $\langle C_0^2 \rangle$  lze díky (93) získat dolní odhad

$$\langle C_0^2 \rangle \geq \langle C_0 \rangle^2 , \quad \langle C_0 \rangle = \exp\left(-\frac{K^2}{2} \langle q^2 \rangle\right) , \quad (52)$$

který dokazuje, že komponenta s původní frekvencí  $\Omega_0$  bude ve spektru vždy přítomna. Poznamenejme, že  $\langle C_0 \rangle$  udává vystředovanou hodnotu *amplitudy* komplexní funkce (48).

- přesný výpočet  $\langle C_0^2 \rangle$  s využitím (51) vede k výsledku

$$\begin{aligned}\langle C_0^2 \rangle &= \exp(-K^2 \langle q^2 \rangle) J_0(iK^2 \langle q^2 \rangle) \\ &= \exp(-K^2 \langle q^2 \rangle) \left(1 + \frac{K^4}{4} \langle q^2 \rangle^2 + \dots\right),\end{aligned}\quad (53)$$

který ukazuje, že dolní odhad (52) je velice dobrým vyjádřením pro malé hodnoty  $K^2 \langle q^2 \rangle$ , s relativní chybou řádu  $K^4 \langle q^2 \rangle^2$

- pro jádro v PL je nutno nahradit faktor  $\exp[-iKq(t)]$  v (47) obecným výrazem  $\exp[-i\mathbf{K} \cdot \mathbf{q}(t)]$ , kde  $\mathbf{q}(t)$  je výchylka mössbauerovského jádra, jehož rovnovážnou polohu volíme uvnitř buňky s  $\mathbf{T} = \mathbf{0}$ , tj.  $\mathbf{R} = \mathbf{B}$ ; po přechodu k normálním souřadnicím  $Q_s(t) = Q_j(\mathbf{k}, t)$  podle (22) dostaneme

$$\begin{aligned}\mathbf{K} \cdot \mathbf{q}(t) &= \sum_s \kappa_s Q_s(t), \quad s \equiv (jk), \quad \mathbf{k} \in \text{BZ}, \quad j = 1, \dots, 3\nu, \\ \kappa_s &= \frac{1}{\sqrt{M_B}} \frac{1}{\sqrt{N}} \sum_\alpha K_\alpha e_{\mathbf{B}\alpha}^{(j)}(\mathbf{k}),\end{aligned}\quad (54)$$

kde jsme zavedli kvazispojitý složený index  $s$  normálních módů s frekvencemi  $\omega_s = \omega_j(\mathbf{k})$ . Jednotlivé fononové módy přitom vstupují do fáze el.-mag. vlny s efektivními vlnovými čísly  $\kappa_s$ , přičemž  $\kappa_s \rightarrow 0$  pro  $N \rightarrow \infty$ .

- vzhledem k nezávislosti normálních módů je zřejmé, že ve spektru budou obsaženy frekvence  $\Omega = \Omega_0 + \sum_s n_s \omega_s$ , kde všechna  $n_s$  jsou celá čísla; relativní intenzita čáry s frekvencí  $\Omega_0$  (tj. všechna  $n_s = 0$ ) bude pak dána součinem výrazů (53) přes všechny módy; vyjde výraz

$$f = \exp\left(-\sum_s \kappa_s^2 \langle Q_s^2 \rangle\right) \left(1 + \frac{1}{4} \sum_s \kappa_s^4 \langle Q_s^2 \rangle^2 + \dots\right), \quad (55)$$

kde sumu v argumentu exponenciály lze podle (54) ztotožnit s  $\langle (\mathbf{K} \cdot \mathbf{q})^2 \rangle$  (nezávislost normálních módů), zatímco druhá suma i další vytečkované členy pro nekonečnou PL ( $N \rightarrow \infty$ ) vymizí; výsledek tedy je

$$f = \exp\left\{-\langle (\mathbf{K} \cdot \mathbf{q})^2 \rangle\right\}, \quad (56)$$

což je tzv. Lambův-Mössbauerův faktor: relativní intenzita čáry s neposunutou frekvencí  $\Omega_0$  je dána střední hodnotou kvadrátu výchylky jádra ve směru emitovaného fotonu

## 7.2 Kvantový popis pohybu jader

- v tomto případě popisujeme klasický pouze el.-mag. pole; pro kmity jader i jaderné vnitřní stupně volnosti použijeme kvantový popis

- pro jádro v poli jediného oscilátoru s hamiltoniánem

$$\hat{H}_{\text{osc}} = \frac{\hat{p}^2}{2M} + \frac{M\omega^2}{2}\hat{q}^2, \quad (57)$$

jehož vlastní hodnoty jsou  $E_n = \hbar\omega(n+\frac{1}{2})$ , kde  $n \in \{0, 1, \dots\}$ , a pro počáteční kvantový stav  $|i\rangle$  s jádrem v excitovaném stavu a oscilátorem ve stavu  $n$  a pro konečný stav  $|f\rangle$  s jádrem v základním stavu a oscilátorem ve stavu  $n'$  dostaneme pro interakční hamiltonián [srv. (47)]

$$\begin{aligned} \hat{H}'(t) &\sim \exp(i\Omega t) \exp(-iK\hat{q}), \\ \langle f | \hat{H}'_D(t) | i \rangle &\sim \exp\{i[\Omega - \Omega_0 + (n' - n)\omega]t\} C_{n'n}, \end{aligned} \quad (58)$$

kde  $C_{n'n}$  značí maticový element

$$C_{n'n} = \langle n' | \exp(-iK\hat{q}) | n \rangle. \quad (59)$$

Z časové závislosti (58) plyne pravděpodobnost přechodu za jednotku času

$$w_{fi}(\Omega) \sim |C_{n'n}|^2 \delta(\Omega - \Omega_0 + (n' - n)\omega), \quad (60)$$

tj. přechod pro frekvenci  $\Omega$  posunutou vzhledem k  $\Omega_0$  o  $(n' - n)\omega$ ; intenzity jednotlivých přechodů budou úměrné  $|C_{n'n}|^2$ .

- maticové elementy  $C_{n'n}$  splňují sumační pravidlo

$$\sum_{n'=0}^{\infty} |C_{n'n}|^2 = 1, \quad (61)$$

takže  $C_{nn}^2$  udává relativní intenzitu komponenty s nezměněnou frekvencí  $\Omega_0$  ( $C_{nn}$  jsou reálné)

- spektrum souboru identických jader o teplotě  $T$  bude obsahovat čáru s frekvencí  $\Omega_0$  s relativní intenzitou  $\langle C_{nn}^2 \rangle$ , kde  $\langle X_n \rangle \equiv \sum_{n=0}^{\infty} \rho_n X_n$  značí statistické středování s boltzmannovským rozdělením, tj.  $\rho_n \sim \exp(-\beta E_n)$  (viz dodatek C); s užitím (97) lze pro  $\langle C_{nn}^2 \rangle$  získat dolní odhad

$$\begin{aligned} \langle C_{nn}^2 \rangle &\geq \langle C_{nn} \rangle^2, \\ \langle C_{nn} \rangle &= \langle \exp(-iK\hat{q}) \rangle = \exp\left(-\frac{K^2}{2} \langle \hat{q}^2 \rangle\right), \end{aligned} \quad (62)$$

který je kvantovou analogií klasického odhadu (52)

- přesnější výpočet  $\langle C_{nn}^2 \rangle$  lze snadno provést jen ve fyzikálně významné limitě  $K \rightarrow 0$ ; z Taylorova rozvoje exponenciály v (59) do členů  $\sim K^4$  se získá

$$\langle C_{nn}^2 \rangle - \langle C_{nn} \rangle^2 \approx \frac{K^4}{4} \left( \langle \langle n | \hat{q}^2 | n \rangle^2 \rangle - \langle \hat{q}^2 \rangle^2 \right). \quad (63)$$

Díky vztahu  $\langle n | \hat{q}^2 | n \rangle = E_n / (M\omega^2)$  lze pravou stranu v (63) vyjádřit pomocí stavové sumy harmonického oscilátoru; výsledek lze psát ve tvaru [srv. (53)]

$$\langle C_{nn}^2 \rangle = \exp(-K^2 \langle \hat{q}^2 \rangle) \left[ 1 + \frac{K^4}{4} (\langle \hat{q}^2 \rangle^2 - \langle \hat{q}^2 \rangle_0^2) + \dots \right], \quad (64)$$

kde  $\langle \hat{q}^2 \rangle_0 = \hbar / (2M\omega)$  značí kvadrát výchylky oscilátoru v základním stavu.

Poznamenejme pro úplnost, že přesný vztah zní:

$$\langle C_{nn}^2 \rangle = \exp(-K^2 \langle \hat{q}^2 \rangle) J_0 \left( iK^2 \sqrt{\langle \hat{q}^2 \rangle^2 - \langle \hat{q}^2 \rangle_0^2} \right), \quad (65)$$

což je opět analogické výrazu klasickému (53).

- pro jádro v nekonečné PL lze opět přejít k normálním souřadnicím; vyjde, že intenzita čáry s nezměněnou frekvencí  $\Omega_0$  (tj. četnost jaderného přechodu nedoprovázeného změnou fononového stavu PL) je dána kvantovým Lamb-Mössbauerovým faktorem

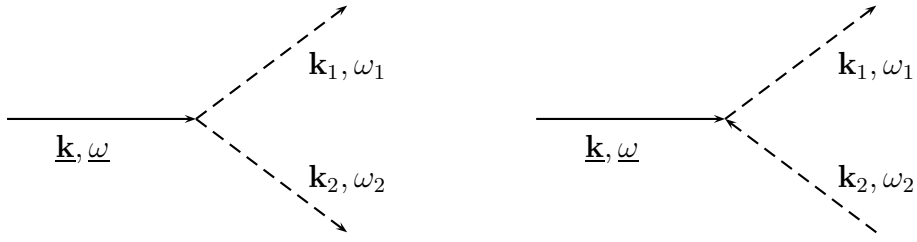
$$f = \exp \left\{ - \left\langle (\mathbf{K} \cdot \hat{\mathbf{q}})^2 \right\rangle \right\}. \quad (66)$$

Jeho hodnota je menší než v přístupu klasickém (56), zejména pro nízké teploty, avšak dostatečná pro pozorování a využití Mössbauerova jevu.

## 8 Fonony - experiment

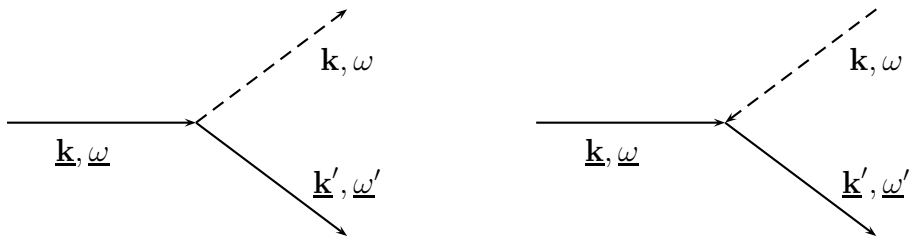
- fononové energie:  $0.01 - 0.1$  eV (frekvence  $\sim 10^{13}$  Hz)
- absorpce el.-mag. záření (fotonů)
- rozptyl, difrakce: fotonů, neutronů
- zákon zachování energie: fonon  $\dots \hbar\omega_j(\mathbf{k})$
- zákon zachování impulsu: fonon  $\dots \hbar(\mathbf{k} + \mathbf{G})$
- *Infračervená absorpce*  
- lze prakticky zanedbat impuls fotonů

- absorpce pro frekvence rovné frekvencím transverzálních optických fononů pro  $\mathbf{k} = \Gamma$
- vícefotonové procesy



- *Rozptyl optických fotonů na fononech*

- energie fotonů 1 – 10 eV
- bez změny energie fotonu: Rayleighův rozptyl
- s účastí (emise, absorpcí) fononu optického: Ramanův rozptyl  
akustického: Brillouinův rozptyl



- *Rozptyl rentgenového záření na fononech*

- obtížnost měřit změny energie fotonů

- *Rozptyl neutronů na fononech*

- energie neutronů  $10^{-2}$  – 1 eV
- možnost sledovat jak změny energie, tak impulsu [tj. disperzní závislost  $\omega_j(\mathbf{k})$ ]

- *Teplotní závislost intenzity difrakčních maxim (neutrony, rtg. záření)*

- $\hbar\mathbf{K}$  značí přenesený impuls ( $\mathbf{K} = \underline{\mathbf{k}}' - \underline{\mathbf{k}}$ )
- uvažujeme jen Bravaisovy mřížky ( $\mathbf{R} = \mathbf{T}$ )
- bez fononů je intenzita  $I \sim AA^*$ , kde amplituda  $A$  je

$$A \sim \sum_{\mathbf{R}} \exp(i\mathbf{K} \cdot \mathbf{R}) \sim \sum_{\mathbf{G}} \delta(\mathbf{K} - \mathbf{G}) , \quad (67)$$

tj. maxima pro  $\mathbf{K} = \mathbf{G}$  (Braggova podmínka)

- se zahrnutím fononů nutno vzít

$$A \rightarrow \langle A \rangle \sim \left\langle \sum_{\mathbf{R}} \exp[i\mathbf{K} \cdot (\mathbf{R} + \mathbf{q}_{\mathbf{R}})] \right\rangle \quad (68)$$

kde  $\langle \dots \rangle$  zahrnuje kvantově-mechanické středování přes jednotlivé fononové stavy a statistické středování při dané teplotě  $T$

- středování amplitudy  $\iff$  fononový stav nezměněn
- pro  $\langle A \rangle$  s využitím normálních souřadnic a vztahu (97) vyjde

$$\begin{aligned} \langle A \rangle &\sim \sum_{\mathbf{R}} \exp(i\mathbf{K} \cdot \mathbf{R}) \langle \exp(i\mathbf{K} \cdot \mathbf{q}_{\mathbf{R}}) \rangle , \\ \langle \exp(i\mathbf{K} \cdot \mathbf{q}_{\mathbf{R}}) \rangle &= \exp \left\{ -\frac{1}{2} \langle (\mathbf{K} \cdot \mathbf{q}_{\mathbf{R}})^2 \rangle \right\} \equiv \exp(-W) , \\ W &= \frac{1}{2} \langle (\mathbf{K} \cdot \mathbf{q}_{\mathbf{R}})^2 \rangle , \end{aligned} \quad (69)$$

kde  $W$  je úměrné střední hodnotě kvadrátu výchylky jádra ve směru vektoru  $\mathbf{K}$ ; přitom  $W$  závisí na velikosti vektoru  $\mathbf{K}$ , ale nezávisí na  $\mathbf{R}$  [srv. (42)]

- pro intenzitu pak vyjde

$$I \sim |\langle A \rangle|^2 \sim \exp(-2W) \left| \sum_{\mathbf{R}} \exp(i\mathbf{K} \cdot \mathbf{R}) \right|^2 , \quad (70)$$

čili maxima intenzity jsou opět pro  $\mathbf{K} = \mathbf{G}$ , ale intenzita v těch maximech je snížena příslušným Debye-Wallerovým faktorem  $\exp(-2W)$

- podobnost Debye-Wallerova a Lamb-Mössbauerova faktoru [srv. (66)]

## A Vliv hraničních podmínek na spektrum

Pro jednodimenzionální řetízek délky  $N$  složený ze stejných atomů kmitajících jen v jednom směru a se silovou maticí spojující jen nejbližší sousedy se problém nalezení spektra kmitů zredukuje v podstatě na dva případy (oba s maticemi v indexech  $m, n = 1, 2, \dots, N$ ).

- *Volné hraniční podmínky:*

Příslušná dynamická matice je (až na nepodstatné přeškálování a posuvy na ose  $\lambda = \omega^2$ ) ekvivalentní matici:

$$D_{mn} = \delta_{m,n+1} + \delta_{m+1,n}, \quad (71)$$

jejíž vlastní hodnoty  $\lambda_n$  a jim příslušející (nenormalizované) vlastní vektory  $|\bar{n}\rangle$  jsou dány vztahy:

$$\lambda_n = 2 \cos\left(\frac{\pi n}{N+1}\right), \quad \langle m|\bar{n}\rangle = \sin\left(\frac{\pi mn}{N+1}\right). \quad (72)$$

Poslední vztah využívá Diracovy symboliky:  $\langle m|\bar{n}\rangle$  značí amplitudu vlastního vektoru  $|\bar{n}\rangle$  na  $m$ -tém uzlu. Pro  $N \rightarrow \infty$  vyplní vlastní hodnoty celý interval  $\lambda \in (-2, 2)$ , a to s hustotou  $w(\lambda) = \pi^{-1}(4 - \lambda^2)^{-1/2}$ .

*Poznámka:* Přesněji řečeno odpovídá matice (71) případu, kdy atomy s  $1 \leq n \leq N$  kmitají, zatímco ostatní atomy nekonečného řetízku ( $n \leq 0$ ,  $n \geq N+1$ ) jsou pevně drženy ve svých rovnovážných polohách.

- *Periodické hraniční podmínky:*

Příslušná dynamická matice je ekvivalentní matici:

$$D_{mn} = \delta_{m,n+1} + \delta_{m+1,n} + \delta_{m,1} \delta_{n,N} + \delta_{m,N} \delta_{n,1}, \quad (73)$$

kde poslední dva členy popisují interakci prvního a  $N$ -tého atomu. Vlastní hodnoty  $\lambda_n$  a příslušné vlastní vektory  $|\bar{n}\rangle$  jsou tentokrát rovny:

$$\lambda_n = 2 \cos\left(\frac{2\pi n}{N}\right), \quad \langle m|\bar{n}\rangle = \exp\left(\frac{2\pi i m n}{N}\right). \quad (74)$$

Pro  $N \rightarrow \infty$  vyplní vlastní hodnoty stejný interval a se stejnou hustotou  $w(\lambda)$  jako v předchozím případě.

## B Fourierovy transformace v případě jedné dimenze

Uvažujeme pro jednoduchost pouze kmity v jediném směru, takže index  $\alpha$  odpadne, a dále vezmeme pouze jeden atom v hmotné bázi, takže index **B**

také odpadne. Mřížkové uzly číslujeme pomocí  $n \in \mathcal{Z}$ .

Periodické hraniční podmínky (10) s periodou  $N$  znamenají

$$q_{n+N} = q_n \quad (75)$$

pro všechna  $n \in \mathcal{Z}$ . Pro takové periodické posloupnosti můžeme psát jejich Fourierův rozklad ve tvaru (diskrétní Fourierova transformace):

$$q_n = \sum_{m=0}^{N-1} c_m \exp\left(\frac{2\pi i mn}{N}\right), \quad (76)$$

kde konstanty  $c_m$ ,  $m = 0, 1, \dots, N-1$ , jsou libovolné. Inverzní vztah zní

$$c_m = \frac{1}{N} \sum_{n=0}^{N-1} q_n \exp\left(-\frac{2\pi i mn}{N}\right). \quad (77)$$

Dodefinujeme-li  $c_m$  periodicky pro všechna celá  $m$ :

$$c_{m+N} = c_m, \quad (78)$$

pak v (76, 77) lze sčítat přes libovolnou posloupnost délky  $N$  ( $\equiv P.D.N$ ).

Potom lze (76, 77) psát ve tvaru

$$q_n = \sum_m^{P.D.N} U_{nm} c_m, \quad c_m = \sum_n^{P.D.N} (U^{-1})_{mn} q_n, \quad (79)$$

kde elementy matic  $U$  a  $U^{-1}$  jsou dány pomocí

$$U_{nm} = \exp\left(\frac{2\pi i mn}{N}\right), \quad (U^{-1})_{mn} = \frac{1}{N} \exp\left(-\frac{2\pi i mn}{N}\right). \quad (80)$$

Periodičnost (translační invariance) dynamické matice (8) znamená, že

$$D_{nn'} = D_{(n+t)(n'+t)} \quad (81)$$

pro všechna  $n, n', t \in \mathcal{Z}$ .

*Poznámka:* Fyzikální důvody vedou k předpokladu konečného dosahu interakcí, což pro dynamickou matici znamená, že existuje nějaká kladná veličina  $L$  taková, že

$$|n - n'| > L \implies D_{nn'} = 0. \quad (82)$$

Volba periodických hraničních podmínek ovšem vede k požadavku

$$D_{(n+N)n'} = D_{nn'} = D_{n(n'+N)}, \quad (83)$$

který je s (82) ve sporu. Pokud ale volíme  $N \gg L$  (nebo aspoň  $N > 2L$ ), lze (83) považovat za změnu původní konečnědosahové dynamické matice (82). Tato změna se týká jen maticových elementů  $D_{nn'}$  pro  $|n - n'| \geq N - L$  a na konečném výsledku se neprojeví (viz níže).

Počítejme nyní matici  $\tilde{D} = U^{-1}DU$ , jejíž spektrum je shodné se spektrem dynamické matice  $D$ . Dostaneme postupně ( $0 \leq m, m' < N$ ):

$$\begin{aligned}
\tilde{D}_{mm'} &= \sum_{nn'}^{P.D.N} (U^{-1})_{mn} D_{nn'} U_{n'm'} \\
&= \frac{1}{N} \sum_{nn'}^{P.D.N} \exp\left[\frac{2\pi i}{N}(-mn + m'n')\right] D_{nn'} \quad [n' = n + t] \\
&= \frac{1}{N} \sum_{nt}^{P.D.N} \exp\left\{\frac{2\pi i}{N}[(m' - m)n + m't]\right\} D_{n(n+t)} \quad [D_{n(n+t)} = D_{0t}] \\
&= \frac{1}{N} \sum_n^{P.D.N} \exp\left[\frac{2\pi i}{N}(m' - m)n\right] \sum_t^{P.D.N} \exp\left(\frac{2\pi im't}{N}\right) D_{0t} \\
&= \delta_{mm'} \sum_t^{P.D.N} \exp\left(\frac{2\pi imt}{N}\right) D_{0t}. \tag{84}
\end{aligned}$$

Zde jsme v posledním kroku využili vztahu

$$\frac{1}{N} \sum_n^{P.D.N} \exp\left[\frac{2\pi i}{N}(m' - m)n\right] = \delta_{mm'}, \tag{85}$$

který lze snadno dokázat pomocí vzorce pro součet geometrické řady. Hlavní výsledek (84) spočívá v diagonálním tvaru matice  $\tilde{D}_{mm'}$ .

Výsledek lze přepsat do tvaru:

$$\tilde{D}_{mm'} = \delta_{mm'} \tilde{D}(k_m), \tag{86}$$

kde (pro velké  $N$  a pro  $0 \leq m < N$ )

$$k_m = \frac{2\pi m}{N} \tag{87}$$

je kvazispojitá proměnná z intervalu  $[0, 2\pi)$  a

$$\tilde{D}(k) = \sum_t \exp(ikt) D_{0t} \tag{88}$$

je periodická funkce reálné proměnné  $k$  (s periodou  $2\pi$ ); vztah (88) je její Fourierovou řadou.

*Poznámka:* Součet v (88) se provádí přes libovolnou  $P.D.N$  a s maticovými elementy  $D_{0t}$  změněnými podle (83). Pokud tedy sčítáme přes  $-(N/2) \leq$

$t \leq (N - 1)/2$ , pak součet fakticky obsahuje jen členy pro  $-L \leq t \leq L$ , a to díky (82) a předpokladu  $N \gg L$ , tj. obsahuje jen původní (nezměněné) maticové elementy dynamické matice. S nimi pak lze – opět díky jejich konečnému dosahu (82) – rozšířit součet v (88) na všechna  $t \in \mathcal{Z}$ . Funkce  $\tilde{D}(k)$  definovaná z původních elementů dynamické matice vztahem (88) tedy na  $N$  nezávisí.

## C Statistické vlastnosti harmonického oscilátoru

- *Klasický případ:*

Pro jediný harmonický oscilátor s jednotkovou hmotou a frekvencí  $\omega$  máme hamiltonián [srv. (24)]

$$H(P, Q) = \frac{1}{2} (P^2 + \omega^2 Q^2) . \quad (89)$$

Při teplotě  $T$  je statistické středování  $\langle \dots \rangle$  definováno vztahem

$$\langle f(P, Q) \rangle = \frac{\int \exp(-\beta H(P, Q)) f(P, Q) dP dQ}{\int \exp(-\beta H(P, Q)) dP dQ} , \quad (90)$$

kde  $f(P, Q)$  je libovolná funkce ve fázovém prostoru a  $\beta = (k_B T)^{-1}$ . S užitím gaussovského integrálu

$$\int_{-\infty}^{\infty} \exp\left(-\frac{x^2}{2} + hx\right) dx = \sqrt{2\pi} \exp\left(\frac{h^2}{2}\right) \quad (91)$$

lze dokázat platnost následujících vztahů:

$$\langle P^2 \rangle = \omega^2 \langle Q^2 \rangle = \langle H(P, Q) \rangle = k_B T , \quad (92)$$

$$\langle \exp(cQ) \rangle = \exp\left(\frac{c^2}{2} \langle Q^2 \rangle\right) , \quad (93)$$

kde  $c$  je libovolná (i komplexní) konstanta.

- *Kvantový případ:*

Kvantovou analogií klasického hamiltoniánu (89) je

$$\hat{H} = \frac{1}{2} (\hat{P}^2 + \omega^2 \hat{Q}^2) = \hbar\omega \left(\hat{n} + \frac{1}{2}\right) , \quad (94)$$

kde  $\hat{n}$  je operátor počtu kvant [srv. (35)]. Kvantové statistické středování  $\langle \dots \rangle$  je definováno pomocí

$$\langle \hat{f} \rangle = \frac{\text{Tr} [\exp(-\beta \hat{H}) \hat{f}]}{\text{Tr} [\exp(-\beta \hat{H})]}, \quad (95)$$

kde  $\hat{f}$  je libovolný hermiteovský operátor a Tr značí stopu operátoru. Ze známého spektra hamiltoniánu (94) lze pomocí součtu nekonečné geometrické řady a pomocí viriálového teorému odvodit vztahy

$$\begin{aligned} \langle \hat{n} \rangle &= \frac{1}{\exp(\beta \hbar \omega) - 1}, \\ \langle \hat{H} \rangle &= \langle \hat{P}^2 \rangle = \omega^2 \langle \hat{Q}^2 \rangle = \frac{\hbar \omega}{2} \coth\left(\frac{\beta \hbar \omega}{2}\right). \end{aligned} \quad (96)$$

Pro  $\hbar \rightarrow 0$  (klasická limita), nebo pro  $T \rightarrow \infty$  (limita vysokých teplot) přejde kvantový výraz pro střední hodnotu hamiltoniánu v klasický (92). Dále lze dokázat platnost vztahu

$$\langle \exp(c \hat{Q}) \rangle = \exp\left(\frac{c^2}{2} \langle \hat{Q}^2 \rangle\right), \quad (97)$$

v naprosté analogii s klasickým vztahem (92).